

# تعیین معادله‌های سرعت واکنش‌های تولید منو و دی‌سدیم‌فسفات

حسن پهلوانزاده<sup>\*</sup><sup>†</sup>، محمود سحابی

تهران، دانشگاه تربیت مدرس، دانشکده فنی و مهندسی، بخش مهندسی شیمی، صندوق پستی ۱۴۱۱۵-۱۱۱

## مهندسی قائمی

تهران، دانشگاه تربیت مدرس، دانشکده علوم پایه، بخش شیمی

**چکیده:** یکی از مواد مهم تشکیل دهنده‌ها، سدیم‌تری‌پلی‌فسفات است که به اختصار STPP نامیده می‌شود. این ماده در شوینده‌ها با ایجاد کمپلکس و جدا کردن یون‌های فلزی چند‌ظرفیتی، و معلق ساختن و تغییر حالت ذره‌های چرک، باعث کاهش سختی آب و افزایش قدرت شوینده‌گی می‌شود. سدیم‌تری‌پلی‌فسفات حاصل واکنش منو‌سدیم‌فسفات و دی‌سدیم‌فسفات با نسبت مولی ۲:۱ است، که منو و دی‌سدیم‌فسفات نیز حاصل واکنش سدیم کربنات و فسفریک اسید هستند. در مطالعه و شیوه‌سازی راکتورهای تولید محلول منو و دی‌سدیم‌فسفات با نسبت معین که پایه تولید STPP است، داشتن ثابت‌های سینتیکی تولید این محلول نیاز است. در این تحقیق با روش اندازه‌گیری pH و استفاده از نظریه‌های مناسب ضربه‌های سینتیکی تولید منو و دی‌سدیم‌فسفات تعیین شدند. نتیجه‌های این تحقیق نشان داد که در واکنش فسفریک اسید و سدیم کربنات، منو و دی‌سدیم‌فسفات به ترتیب در گستره‌ی pH بین ۲ تا ۷/۴ و ۷/۴ تا ۷ تشکیل شده و دمای ۶۰ درجه سانتی‌گراد شرایط بهینه را برای این تولید فراهم می‌کند.

**واژه‌های کلیدی:** STPP، منو‌سدیم‌فسفات، دی‌سدیم‌فسفات، ثابت‌های سینتیک، معادله سرعت.

**KEY WORDS:** STPP, Monosodiumphosphate, Disodiumphosphate, Kinetic constants, Mole ratio.

## مقدمه

فسفریک اسید و سدیم کربنات (سودا آش) در یک محلول آبی با نسبت مولی سدیم به فسفر ۳:۵ است. حاصل این واکنش، محلول آبی حاوی منو‌سدیم فسفات ( $\text{NaH}_2\text{PO}_4$ ) و دی‌سدیم‌فسفات ( $\text{Na}_2\text{HPO}_4$ ) به نسبت مولی ۱:۲ است. سپس این محلول آبی خشک شده و در دمای ۴۰۰ تا ۵۵۰ درجه سانتی‌گراد به شکل بلوری STPP تبدیل می‌شود [۱ و ۴].

از منو‌سدیم‌فسفات و دی‌سدیم‌فسفات به عنوان مواد اولیه در تهیه پیروفسفات‌ها و تری‌پلی‌فسفات‌ها و متافسفات‌ها استفاده می‌شود. منو‌سدیم‌فسفات به عنوان اسید جامد محلول در آب و بافر pH در پاک‌کننده‌های اسیدی و همچنین در زمینه‌ی تصفیه آب ورودی به بویلر به عنوان رسوب دهنده‌ی یون‌های فلزی چند

سدیم‌تری‌پلی‌فسفات یا STPP یکی از مهم‌ترین اجزای پاک‌کننده‌ها است. استفاده از STPP در شوینده‌ها موجب افزایش قدرت پاک‌کننده‌گی آنها می‌شود. این ماده باعث پایین آمدن سختی آب شده و عمل شوینده‌گی در آن با بازده بالا صورت می‌گیرد. STPP در پودرهای شوینده به هنگام ترکیب با آب، خاصیت قلیایی خود را حفظ می‌کند، که این امر موجب کنترل pH محیط به منظور انجام واکنش‌های لازم می‌شود. نقش اصلی سدیم‌تری‌پلی‌فسفات در شوینده‌ها، نرم کردن آب به وسیله‌ی ایجاد کمپلکس یا جدا کردن یون‌های کلسیم و منیزیم در آب سخت و همچنین معلق ساختن و تغییر حالت ذره‌های چرک در آب است [۱-۳]. روش متعارف تولید سدیم تری‌پلی‌فسفات، واکنش

\*عهده‌دار مکاتبات

+E-mail: pahlavzh@modares.ac.ir

## مواد و روش آزمایش

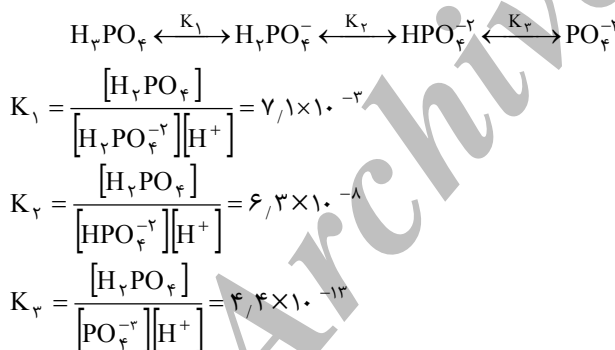
برای تعیین سینتیک واکنش‌های تولید منو و دی‌سدیم‌فسفات، از فسفریک اسید مرک با درجه خلوص ۸۵ درصد و سدیم کربنات خالص استفاده شد.

با انتخاب غلظت‌های مناسب برای مواد اولیه به گونه‌ای که غلظت یکی چند ده برابر دیگری باشد، غلظت یون  $[H^+]$  ( $pH = -\log[H^+] \Rightarrow [H^+] = 10^{-pH}$ ) در هر زمان با اندازه‌گیری pH بهوسیله‌ی یک دستگاه pH متر قوی با دقت صدم، ساخت کارخانه سارتربیوس آلمان و مجهز به حس‌گر با حساسیت بالا در دماهای ۳۰، ۴۵، ۶۰ و ۷۰ درجه سانتی‌گراد محاسبه شد. در واکنش‌های تولید منو و دی‌سدیم‌فسفات، فسفریک اسید به گونه‌های متفاوت ظاهر می‌شود [۱۱]، حال اگر  $C_T$  به عنوان حاصل جمع غلظت گونه‌های متفاوت فسفریک اسید تعریف شود، رابطه‌ی زیر را برای موازنۀ جرم می‌توان نوشت:

$$C_T = [H_3PO_4] + [H_2PO_4^-] + [HPO_4^{2-}] + [PO_4^{3-}]$$

$$\text{و مطابق تعریف: } \frac{[H_2PO_4^-]}{C_T} = \alpha_1, \quad \frac{[HPO_4^{2-}]}{C_T} = \alpha_2, \quad \text{و... می‌باشد.}$$

با توجه به اینکه حاصل جمع مقدارهای  $\alpha$  برای یک سیستم برابر واحد است، می‌توان به سادگی  $\alpha_1, \alpha_2, \dots$  را بر حسب  $[H^+]$ ،  $K_1, K_2$  و  $K_3$  بیان کرد که  $K_1, K_2$  و  $K_3$  ثابت‌های تدقیک اسید در مراحل زیر است:



از ادغام معادله‌های بالا، رابطه‌های زیر حاصل می‌شوند:

$$[H_3PO_4] = \frac{C_T [H^+]^3}{[H^+]^3 + K_1 [H^+]^2 + K_1 K_2 [H^+] + K_1 K_2 K_3} = C_T \alpha_1$$

$$[H_2PO_4^-] = \frac{C_T [H^+]^2}{[H^+]^3 + K_1 [H^+]^2 + K_1 K_2 [H^+] + K_1 K_2 K_3} = C_T \alpha_2$$

ظرفیتی استفاده می‌شود. دی‌سدیم‌فسفات نیز در تهیه برخی از سرامیک‌های لعاب شیشه‌ای، لعاب کاری و نیز در دباغی چرم، صنایع نساجی، چاپ، شوینده‌ها، تصفیه آب بویلر و بافرسازی استفاده می‌شود [۱۲].

در مورد سدیم‌تری‌پلی‌فسفات، نحوه تولید گونه‌های متفاوت آن و همچنین انواع روش‌های فراوری در مراجع [۹-۱۰] اطلاعاتی ارایه شده، اما از سینتیک سخنی به میان نیامده است.

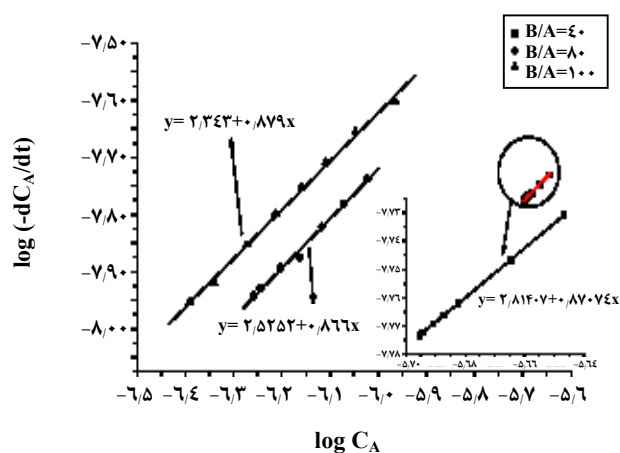
آنچه در این مقاله بدان پرداخته شده است، تعیین سینتیک واکنش‌های تولید منو‌سدیم‌فسفات و دی‌سدیم‌فسفات است، زیرا تعیین ثابت‌های سینتیکی به منظور طراحی و شبیه‌سازی دستگاه‌ها در مقیاس صنعتی امری ضروری است.

## تئوری آزمایش‌ها

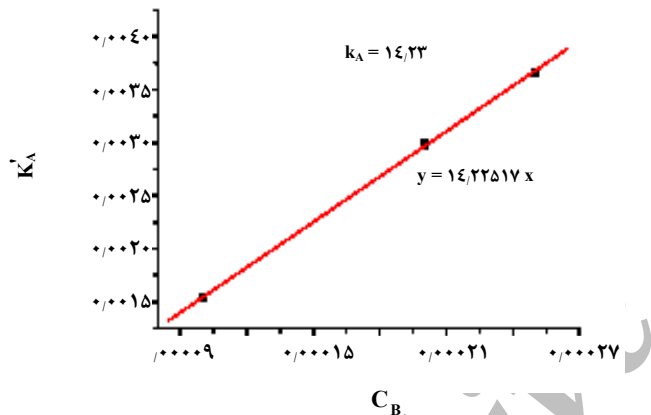
به منظور تعیین سینتیک واکنش‌های شیمیایی تولید منو و دی‌سدیم‌فسفات از روش اندازه‌گیری pH استفاده شد. بدین ترتیب که با مشخص شدن pH در هر لحظه می‌توان میزان یون  $[H^+]$  محیط را محاسبه کرد. با مشخص شدن  $[H^+]$  می‌توان درجه یونش یون‌های متفاوت فسفریک اسید در محلول آبی را محاسبه و به غلظت دست یافت. روشی که برای تعیین سینتیک به کار رفته به روش کاهش مرتبه‌ی واکنش مشهور است [۱۰].

در این روش فرض شده است که معادله‌ی سرعت واکنش به صورت  $rate = k C_A^n C_B^m C_C^p \dots$  باشد. غلظت‌های اولیه به گونه‌ای انتخاب شده که  $CA >> CB >> CA$  و ...، یعنی غلظت اولیه تمام اجزا از غلظت اولیه A به مراتب بزرگتر باشد. در این حالت به جز غلظت A، غلظت سایر مواد در طول واکنش در عمل ثابت می‌ماند (حتی اگر تمام A مصرف شود، تها حدود ۰/۱ درصد از سایر مواد مصرف می‌شود). بنابراین، معادله‌ی سرعت واکنش به این صورت در می‌آید:

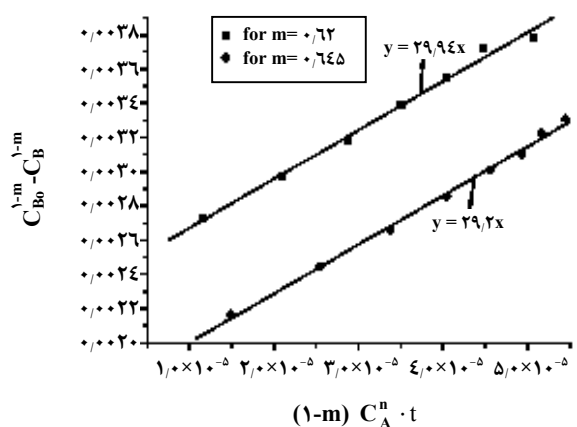
مرتبه‌ی واقعی واکنش  $s = m + n + p + \dots$  است در حالی که بر مبنای معادله دوم، مرتبه واکنش تحت چنین شرایطی  $s = n$  خواهد بود. برای تعیین  $n$  و  $k'_A$  از رابطه‌ی بالا لگاریتم گرفته و با رسم لگاریتم سرعت بر حسب لگاریتم غلظت A، می‌توان  $n$  و  $k'_A$  را به دست آورد. با انجام این کار برای غلظت‌های متفاوت،  $k_A$  نیز از رابطه‌ی  $k'_A = k_A C_B C_C$  قابل تعیین است. به طور مشابه، اگر غلظت‌های اولیه به نحو مناسب انتخاب شود می‌توان سایر نمایه‌ای  $p, m, \dots$  را نیز تعیین کرد.



شکل ۱- تغییرهای  $\log(-dC_A/dt)$  با  $\log C_A$  در تولید MSP و نسبت غلظت  $B/A = 40, 80, 100$  در دمای  $30^\circ\text{C}$  در درجه سانتی‌گراد.



شکل ۲- نمودار تغییرهای  $k'_A$  بر حسب  $C_{B0}$  در دمای  $30^\circ\text{C}$  در درجه سانتی‌گراد.



شکل ۳- نمودار تغییرهای  $C_B0^{1-m} - C_A^{1-m}$  بر حسب  $C_A^n t(1-m)$  به ازای  $m=0.62$  و  $m=0.645$  در دمای  $30^\circ\text{C}$  در درجه سانتی‌گراد.

با محاسبه غلظت‌های  $\text{H}_2\text{PO}_4^-$  در هر لحظه و با توجه به رابطه‌های استوکیومتری مربوط به هر واکنش، غلظت سدیم کربنات را نیز می‌توان در هر لحظه محاسبه کرد. با محاسبه لگاریتم  $dC/dt$  و لگاریتم غلظت در هر لحظه و ترسیم  $\log dC/dt$  بر حسب  $\log C$ ، خطی رسم می‌شود که شیب و عرض از مبدأ آن به ترتیب نشان دهنده درجه واکنش و ثابت سرعت است.

در جدول ۱ مقدارهای اندازه‌گیری شده pH بر حسب زمان و مقدارهای محاسبه شده  $[\text{H}^+]$ ،  $\alpha_2$ ،  $\alpha_1$  و غلظت‌های  $\log(C_A)$  و  $\log(-dC_A/dt)$  بر حسب  $\log(C_A)$  و  $\log(-dC_A/dt)$  به عنوان نمونه آورده شده است [۱۲].

## نتیجه‌ها و بحث

در جدول ۲ غلظت‌های اولیه فسفوپریک اسید و سدیم کربنات در آزمایش‌های متفاوت به منظور تعیین درجه واکنش و ثابت سرعت منوسدیم فسفات نسبت به سدیم کربنات در دمای  $30^\circ\text{C}$  درجه سانتی‌گراد گنجانده شده است.

نمودارهای شکل ۱ نیز حاصل رسم  $\log(-dC_A/dt)$  بر حسب  $\log C_A$  است. شیب این نمودارها نشان‌گر درجه واکنش نسبت به A و عرض از مبدأ آنها به طور غیرمستقیم نشان دهنده ثابت سرعت می‌باشد:

$$\left( -\frac{dC_A}{dt} \right) = k'_A C_A^n \Rightarrow \log \left( -\frac{dC_A}{dt} \right) = \log k'_A + n \log C_A$$

لذا با توجه به معادله‌ی خط‌های به دست آمده، درجه واکنش سدیم کربنات در تولید منوسدیم فسفات  $n=0.87$  خواهد بود. برای به دست آوردن یک  $k_A$  واحد برای منوسدیم فسفات در دمای محیط، با توجه به رابطه  $k'_A = k_A C_{B0}$  شکل ۲ رسم شده است. با توجه به معادله‌ی خط به دست آمده از نمودار شکل ۲ نتیجه می‌شود که ثابت سرعت نسبت به A در دمای  $30^\circ\text{C}$  درجه سانتی‌گراد برابر با  $14.23 \text{ mol/lit.sec}^{1/2}$  است.

چون در واکنش تولید منوسدیم فسفات نسبت مولی فسفوپریک اسید به سدیم کربنات ۲ است، این‌گونه استنباط می‌شود که  $k_B = 2k_A = 28.46 \text{ mol / lit.sec}^{1/2}$  خواهد بود.

در آزمایش‌های تعیین درجه واکنش نسبت به فسفوپریک اسید با توجه به نقش بالای سدیم کربنات در روند آزمایش‌ها، واکنش از سرعت بالایی برخوردار بود که امکان زمان‌سنجی مناسب را سلب می‌کرد، لذا با توجه به داده‌های به دست آمده از آزمایش‌ها سری اول در دمای  $30^\circ\text{C}$  درجه سانتی‌گراد از روش انتگرال برای تعیین درجه واکنش نسبت به فسفوپریک اسید استفاده شد.

جدول ۱- داده‌های اندازه‌گیری شده و داده‌های محاسبه شده.

T(°C)	C <sub>B0</sub> /C <sub>A0</sub> (B/A)	pH	Time (s)	[H <sup>+</sup> ] (mol/lit)	α <sub>1</sub>	α <sub>T</sub>	H <sub>T</sub> PO <sub>4</sub> (mol/lit)	H <sub>T</sub> PO <sub>4</sub> <sup>-</sup> (mol/lit)	Na <sub>T</sub> CO <sub>3</sub> (mol/lit)	log(-dC <sub>A</sub> /dt)	log(C <sub>A</sub> )
۴۰	۴۰	۴	•	۰/۰۰۰۱	۰/۰۱۳۹	۰/۰۸۵۵	۱/۳۹E-۶	۹/۸۰E-۵	۲/۵۰E-۶		
		۴/۱۹	۵	۰/۰۰۰۰۶۵	۰/۰۰۹۰	۰/۰۹۰۰	۹/۰E-۷	۹/۹۰E-۵	۲/۲۶E-۶	-۷/۷۳۱	-۵/۶۴۷
		۴/۲۹	۱۰	۰/۰۰۰۰۵۱	۰/۰۰۷۲	۰/۰۹۱۶	۷/۱۶E-۷	۹/۹۲E-۵	۲/۱۶E-۶	-۷/۷۳۷	-۵/۶۶۵
		۴/۴۱	۱۵	۰/۰۰۰۰۳۹	۰/۰۰۵۶	۰/۰۹۳۰	۵/۴۴E-۷	۹/۷۸E-۵	۲/۱۸E-۶	-۷/۷۶۲	-۵/۶۸۱
		۴/۴۵	۲۰	۰/۰۰۰۰۲۵	۰/۰۰۵۰	۰/۰۹۲۲	۴/۹۶E-۷	۹/۹۳E-۵	۲/۰۵E-۶	-۷/۷۶۶	-۵/۶۸۷
		۴/۴۸	۲۵	۰/۰۰۰۰۲۲	۰/۰۰۴۶	۰/۰۹۲۵	۴/۶۳E-۷	۹/۹۳E-۵	۲/۰۴E-۶	-۷/۷۶۹	-۵/۶۹۱
		۴/۵۱	۳۰	۰/۰۰۰۰۲۱	۰/۰۰۴۳	۰/۰۹۲۶	۴/۳۲E-۷	۹/۹۴E-۵	۲/۰۳E-۶	-۷/۷۷۲	-۵/۶۹۴
	۴۰	۴/۵۲	۳۵	۰/۰۰۰۰۲۰	۰/۰۰۴۲	۰/۰۹۲۷	۴/۷۲E-۷	۹/۹۴E-۵	۲/۰۲E-۶	-۷/۷۷۳	-۵/۶۹۵
		۳/۷	•	۰/۰۰۰۲	۰/۰۰۷۳	۰/۰۷۲۴	۵/۴۷E-۶	۱/۹۴E-۴	۲/۰۵E-۶		
		۴/۰۷	۵	۸/۰۵E-۵	۰/۰۱۱۸	۰/۰۸۷۴	۲/۳۷E-۶	۱/۹۷E-۴	۹/۰۵E-۷	-۷/۷۳۸	-۶/۰۲۲
		۴/۱۱	۱۰	۷/۷۶E-۵	۰/۰۱۰۸	۰/۰۸۸۴	۲/۸۶E-۶	۱/۹۸E-۴	۸/۴۸E-۷	-۷/۷۸۱	-۶/۰۲۲
		۴/۱۴۵	۱۵	۷/۱۶E-۵	۰/۰۱۰۰	۰/۰۸۸۱	۲/۰۰E-۶	۱/۸۸E-۴	۷/۵۵E-۷	-۷/۸۱۱	-۶/۱۱۶
		۴/۱۸	۲۰	۶/۶۱E-۵	۰/۰۰۹۲	۰/۰۸۸۸	۱/۸۷E-۶	۱/۹۸E-۴	۶/۸۹E-۷	-۷/۸۷۵	-۶/۱۶۲
		۴/۲۱	۲۵	۶/۱۷E-۵	۰/۰۰۸۶	۰/۰۹۴۰	۱/۷۷E-۶	۱/۹۸E-۴	۶/۲۸E-۷	-۷/۸۹۳	-۶/۲۰۲
		۴/۲۴	۳۰	۵/۷۵E-۵	۰/۰۰۸۰	۰/۰۹۰۹	۱/۶۱E-۶	۱/۹۸E-۴	۵/۷۱E-۷	-۷/۹۳۰	-۶/۲۴۴
	۱۰۰	۴/۲۵	۳۵	۵/۶۲E-۵	۰/۰۰۷۸	۰/۰۹۱۰	۱/۰۵E-۶	۱/۸۸E-۴	۵/۵۰E-۷	-۷/۹۴۲	-۶/۲۵۸
		۳/۶	•	۰/۰۰۰۲۵۱	۰/۰۳۴۲	۰/۰۶۵۶	۸/۰۵E-۶	۲/۴۱E-۴	۲/۰۵E-۶		
		۳/۷۸	۵	۰/۰۰۰۱۶۶	۰/۰۲۲۸	۰/۰۷۶۸	۵/۱۷E-۶	۲/۴۴E-۴	۱/۰۰E-۶	-۷/۶۰	-۵/۶۹۷
		۳/۸۱	۱۰	۰/۰۰۰۱۵۵	۰/۰۲۱۳	۰/۰۷۸۲	۵/۳۲E-۶	۱/۴۵E-۴	۸/۷۶E-۷	-۷/۶۶	-۶/۰۵
		۳/۸۳	۱۵	۰/۰۰۰۱۴۸	۰/۰۲۴	۰/۰۷۹۲	۵/۱۰E-۶	۲/۴۰E-۴	۷/۸۰E-۷	-۷/۷۱	-۶/۱۱
		۳/۸۴۵	۲۰	۰/۰۰۰۱۴۳	۰/۰۱۹۷	۰/۰۷۹۸	۴/۴۷E-۶	۲/۴۴E-۴	۶/۹۵E-۷	-۷/۷۵	-۶/۱۶
		۳/۸۶	۲۵	۰/۰۰۰۱۳۸	۰/۰۱۹۱	۰/۰۸۰۵	۴/۷۷E-۶	۲/۴۴E-۴	۶/۱۰۰E-۷	-۷/۸۰	-۶/۲۱
		۳/۸۷۵	۳۰	۰/۰۰۰۱۳۳	۰/۰۱۸۴	۰/۰۸۱۱	۴/۶۱E-۶	۲/۴۴E-۴	۵/۳۳E-۷	-۷/۸۰	-۶/۲۷
		۳/۸۹	۳۵	۰/۰۰۰۱۱۹	۰/۰۱۷۸	۰/۰۸۱۱	۴/۴۰E-۶	۲/۴۰E-۴	۴/۰۵E-۷	-۷/۹۲	-۶/۳۴
		۳/۹	۴۰	۰/۰۰۰۱۲۶	۰/۰۱۷۴	۰/۰۸۲۱	۴/۳۰E-۶	۲/۴۴E-۴	۴/۰۷E-۷	-۷/۹۵	-۶/۳۹
	۴۵	۳/۷	•	۰/۰۰۰۲	۰/۰۲۷۳	۰/۰۷۲۴	۵/۴۷E-۶	۱/۹۴۵E-۴	۲/۰۵E-۶		
		۴/۰۵	۵	۸/۹۱E-۵	۰/۰۱۲۴	۰/۰۸۵۹	۲/۴۸E-۶	۱/۹۷۴E-۴	۱/۰۱E-۶	-۷/۶۲	-۶/۰۰
		۴/۱	۱۰	۷/۷۴E-۵	۰/۰۱۱۱	۰/۰۸۸۲	۲/۲۱E-۶	۱/۹۷۶E-۴	۸/۷۷E-۷	-۷/۶۷	-۶/۰۶
		۴/۱۴	۱۵	۷/۱۳E-۵	۰/۰۱۰۱	۰/۰۸۵۰	۲/۰۲E-۶	۱/۹۷۸E-۴	۷/۷۷E-۷	-۷/۷۲	-۶/۱۱
		۴/۱۸	۲۰	۶/۸۱E-۵	۰/۰۰۹۲	۰/۰۸۸۸	۱/۸۴E-۶	۱/۹۸E-۴	۶/۸۰E-۷	-۷/۷۶	-۶/۱۶
		۴/۲۲	۲۵	۶/۰۲E-۵	۰/۰۰۸۴	۰/۰۹۰۶	۱/۶۸E-۶	۱/۹۸۱E-۴	۶/۰۰E-۷	-۷/۸۱	-۶/۱۲
		۴/۲۵۷	۳۰	۵/۰۵E-۵	۰/۰۰۷۷	۰/۰۹۱۱	۱/۵۴E-۶	۱/۹۸۲E-۴	۵/۰۰E-۷	-۷/۸۰	-۶/۱۷
		۴/۲۹۵	۳۵	۵/۰۷E-۵	۰/۰۰۷۱	۰/۰۹۱۷	۱/۴۴E-۶	۱/۹۸۳E-۴	۴/۷۶E-۷	-۷/۹۰	-۶/۱۲
		۴/۳۱	۴۰	۴/۹۰E-۵	۰/۰۰۶۸	۰/۰۹۱۹	۱/۳۷E-۶	۱/۹۸۴E-۴	۴/۰۵۲E-۷	-۷/۹۲	-۶/۱۲۵
	۶۰	۳/۷	•	۰/۰۰۰۲	۰/۰۲۷۳	۰/۰۷۲۴	۵/۴۷E-۶	۱/۸۴E-۴	۲/۰۵E-۶		
		۴/۰۷	۵	۸/۰۵E-۵	۰/۰۱۱۸	۰/۰۸۷۴	۲/۳۷E-۶	۱/۹۷۴E-۴	۹/۰۵E-۷	-۷/۵۴۴	-۶/۰۲۲
		۴/۱۲	۱۰	۷/۰۵E-۵	۰/۰۱۰۶	۰/۰۸۸۶	۲/۱۱E-۶	۱/۹۸E-۴	۸/۰۲E-۷	-۷/۵۹۸	-۶/۰۸۴
		۴/۱۷	۱۵	۶/۷۶E-۵	۰/۰۰۹۴	۰/۰۸۷۷	۱/۰۸E-۶	۱/۹۸E-۴	۷/۰۱E-۷	-۷/۶۵۴	-۶/۱۴۹
		۴/۲۱۵	۲۰	۶/۱۰E-۵	۰/۰۰۸۰	۰/۰۹۰۵	۱/۰۷E-۶	۱/۹۸E-۴	۶/۱۰E-۷	-۷/۷۰۷	-۶/۲۰۹
		۴/۲۶	۲۵	۵/۰۵E-۵	۰/۰۰۷۷	۰/۰۹۱۲	۱/۰۵E-۶	۱/۹۸E-۴	۵/۰۲۵E-۷	-۷/۷۶۱	-۶/۲۷۲
		۴/۳	۳۰	۴/۰۱E-۵	۰/۰۰۷۰	۰/۰۹۱۸	۱/۰۴E-۶	۱/۹۸E-۴	۴/۰۰E-۷	-۷/۸۱۲	-۶/۳۳۰
		۴/۳۴	۳۵	۴/۰۵E-۵	۰/۰۰۶۴	۰/۰۹۲۲	۱/۰۸E-۶	۱/۹۸E-۴	۴/۰۰E-۷	-۷/۸۶۵	-۶/۳۹۱
		۴/۳۷	۴۰	۴/۰۷E-۵	۰/۰۰۶۰	۰/۰۹۲۶	۱/۰۹E-۶	۱/۹۹E-۴	۳/۰۰E-۷	-۷/۹۰۶	-۶/۴۳۹
		۴/۳۹	۴۵	۴/۰۷E-۵	۰/۰۰۵۷	۰/۰۹۲۸	۱/۰۱E-۶	۱/۹۹E-۴	۳/۰۰E-۷	-۷/۹۳۵	-۶/۴۷۲
	۷۰	۳/۷	•	۰/۰۰۰۲	۰/۰۲۷۳	۰/۰۷۲۴	۵/۴۷E-۶	۱/۹۴E-۴	۲/۰۵E-۶		
		۴/۰۷۶	۵	۸/۱۳E-۵	۰/۰۱۱۷	۰/۰۸۷۶	۲/۳۲E-۶	۱/۹۸E-۴	۹/۰۳E-۷	-۷/۵۲۳	-۶/۰۲۹
		۴/۱۳	۱۰	۷/۰۴E-۵	۰/۰۱۰۳	۰/۰۸۸۸	۲/۰۷E-۶	۱/۹۸E-۴	۸/۰۰E-۷	-۷/۵۸۲	-۶/۰۷۷
		۴/۱۹	۱۵	۶/۴۶E-۵	۰/۰۰۹۰	۰/۰۹۰۰	۱/۰۰E-۶	۱/۹۸E-۴	۶/۶۰E-۷	-۷/۶۵۰	-۶/۱۷۵
		۴/۲۳	۲۰	۵/۰۷E-۵	۰/۰۰۸۰	۰/۰۹۰۹	۱/۰۶E-۶	۱/۹۸E-۴	۵/۰۷۱E-۷	-۷/۷۱۰	-۶/۲۴۴
		۴/۲۸۵	۲۵	۵/۰۹E-۵	۰/۰۰۷۷	۰/۰۹۱۶	۱/۰۵E-۶	۱/۹۸E-۴	۴/۰۰E-۷	-۷/۷۶۶	-۶/۳۰۸
		۴/۳۳	۳۰	۴/۰۸E-۵	۰/۰۰۶۵	۰/۰۹۲۱	۱/۰۳E-۶	۱/۹۸E-۴	۴/۰۲E-۷	-۷/۸۱۴	-۶/۳۷۶
		۴/۳۷	۳۵	۴/۰۷E-۵	۰/۰۰۶۰	۰/۰۹۲۶	۱/۰۱E-۶	۱/۹۹E-۴	۳/۰۰E-۷	-۷/۸۰۰	-۶/۴۳۹
		۴/۴	۴۰	۴/۰۸E-۵	۰/۰۰۵۶	۰/۰۹۲۹	۱/۰۱E-۶	۱/۹۹E-۴	۳/۰۰E-۷	-۷/۸۲۳	-۶/۴۸۹
		۴/۴۳	۴۵	۴/۰۷E-۵	۰/۰۰۵۲	۰/۰۹۳۱	۱/۰۰E-۶	۱/۹۹E-۴	۲/۰۰E-۷	-۷/۸۶۹	-۶/۵۴۲
		۴/۴۵	۵۰	۴/۰۵E-۵	۰/۰۰۵۰	۰/۰۹۳۳	۹/۹۲E-۶	۱/۹۹E-۴	۲/۰۰E-۷	-۸/۰۰۱	-۶/۵۷۹

جدول ۲- غلظت اولیه فسفوک اسید و سدیم کربنات در دمای ۳۰ درجه سانتی گراد.

$C_{B0}/C_{A0}$ (B/A)	غلظت اولیه فسفوک اسید ( $C_{B0}$ )	غلظت اولیه سدیم کربنات ( $C_{A0}$ )	آزمایش
۴۰	$1 \times 10^{-4}$ (mol/lit)	$2/5 \times 10^{-6}$ (mol/lit)	۱
۸۰	$2 \times 10^{-4}$ (mol/lit)	$2/5 \times 10^{-6}$ (mol/lit)	۲
۱۰۰	$2/5 \times 10^{-4}$ (mol/lit)	$2/5 \times 10^{-6}$ (mol/lit)	۳

جدول ۳- ثابت‌های سرعت به دست آمده در دماهای متفاوت.

$T^{\circ}\text{C}$	$T$ (K)	$k$ (mol/lit.sec) <sup>1/2</sup>	$1/T$ ( $^{\circ}\text{C}$ )	$\ln k$
۳۰	۳۰۳	۱۴,۲۳	۰,۰۰۳۳	۲,۶۵۵
۴۵	۳۱۸	۱۹	۰,۰۰۳۱۵	۲,۹۴۴
۶۰	۳۳	۲۳,۷۷	۰,۰۰۳۰	۳,۱۶۸
۷۰	۳۴۳	۲۶,۰۵	۰,۰۰۲۹	۳,۲۶۰

جدول ۴- غلظت اولیه فسفوک اسید و سدیم کربنات در دمای ۴۵ درجه سانتی گراد.

$C_{B0}/C_{A0}$ (B/A)	غلظت اولیه فسفوک اسید ( $C_{B0}$ )	غلظت اولیه سدیم کربنات ( $C_{A0}$ )	آزمایش
۳۰	$3 \times 10^{-5}$ (mol/lit)	$1 \times 10^{-6}$ (mol/lit)	۱
۴۰	$4 \times 10^{-5}$ (mol/lit)	$1 \times 10^{-6}$ (mol/lit)	۲
۵۰	$5 \times 10^{-5}$ (mol/lit)	$1 \times 10^{-6}$ (mol/lit)	۳

ثابت سرعت دی‌سدیم‌فسفات نسبت به سدیم کربنات در دمای ۴۵ درجه سانتی گراد گنجانده شده است.

نمودارهای شکل ۶ نیز حاصل رسم  $\log(-dC_A/dt)$  بر حسب  $\log C_A$  در دمای ۳۰ درجه سانتی گراد برای تعیین درجه واکنش نسبت به سدیم کربنات در تولید دی‌سدیم‌فسفات است که با توجه به شبیه معادله‌ی خط‌های به دست آمده،  $n=0.9$  خواهد بود.

بدین ترتیب که با انتگرال‌گیری از این رابطه‌ی سینتیک  $\frac{dC_B}{dt} = k'_B C_B^m$ ، رابطه زیر به دست آمد:

$$C_{B_0}^{1-m} - C_B^{1-m} = k_B \cdot C_A^n t(1-m)$$

$$\left( -\int_{C_B}^{C_B^{1-m}} \frac{dC_B}{C_B^m} \right) = k'_B t \Rightarrow \frac{C_{B_0}^{1-m} - C_B^{1-m}}{1-m} = k'_B t$$

به ازای مقدارهای متفاوت  $m$  نمودار  $C_A^n t(1-m)$  رسم شد. در آزمایش اول تنها به ازای  $m=0.62$  و در آزمایش دوم تنها به ازای  $m=0.645$  خط راست حاصل شد که شبیه این خطوط نیز ثابت سرعت را نسبت به فسفوک اسید نشان می‌دهد. نمودارهای حاصل در شکل ۳ نشان داده شده است. با توجه به معادله‌ی خط‌های به دست آمده از شکل ۳ می‌توان گفت که به تقریب  $m=0.63$  و  $k_B=29$  (mol/lit.sec)<sup>1/2</sup> است و با مقدار پیش‌بینی شده برای آن در توضیحات شکل ۲ به تقریب برابر است.

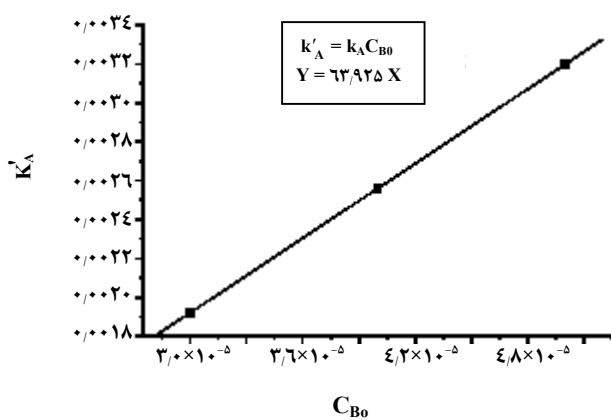
برای تعیین انرژی فعال‌سازی و ثابت فرانکنس با توجه به رابطه‌ی آرنیوس در سه دمای ۴۵، ۶۰ و ۷۰ درجه سانتی گراد آزمایش‌هایی انجام شد که نتیجه‌های آنها در نمودارهای شکل ۴ رسم شده است. ثابت‌های سرعت در این سه دما را می‌توان از روی عرض از مبدأ هر یک از خطوط به دست آورده. این مقدارها در جدول ۳ آمده است. همچنین با توجه به اینکه  $k = k_0 e^{-E/RT}$  است، پس  $\ln k = \ln k_0 - (E/R)T^{-1}$ ؛ لذا شبیه نمودار  $\ln k$  بر حسب  $T^{-1}$  نشان دهنده‌ی  $E/R$  و عرض از مبدأ آن خواهد بود. این نمودار در شکل ۵ رسم شده است.

با توجه به منحنی‌های ترسیم شده در قسمت‌های قبلی معادله سرعت به دست آمده برای واکنش تولید منوسدیم فسفات به صورت زیر درخواهد آمد (از حرف A برای نشان دادن کربنات سدیم و از حرف B برای نشان دادن اسید فسفوک استفاده شده است):

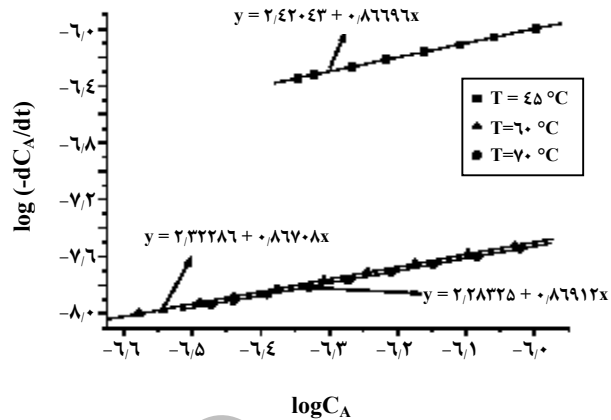
$$(-r_A) = k_0 \exp\left(\frac{-E}{RT}\right) \cdot C_A^\alpha C_B^\beta$$

$$(-r_A) = 2760 \exp\left(\frac{-1590}{RT}\right) \cdot C_A^{0.87} C_B^{0.63}$$

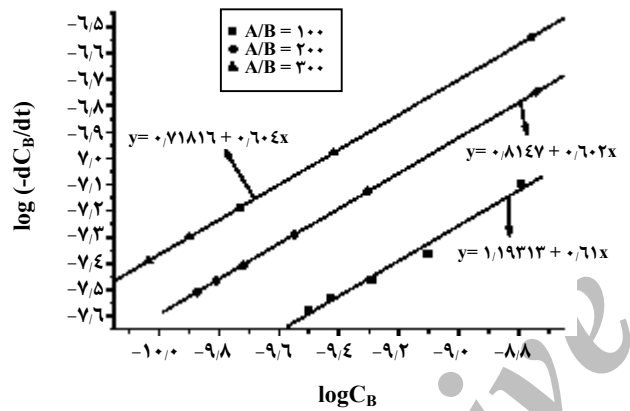
حال برای تعیین ثابت‌های سینتیک دی‌سدیم‌فسفات، در جدول ۴ اطلاعات مربوط به غلظت اولیه فسفوک اسید و سدیم کربنات در آزمایش‌های متفاوت به منظور تعیین درجه واکنش و



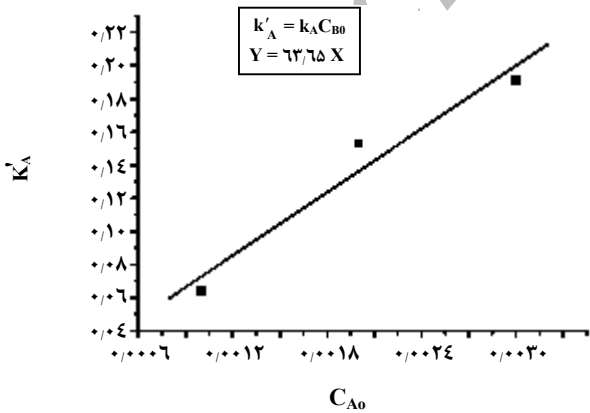
شکل ۷- نمودار تغییرهای  $k'_A$  بر حسب  $C_{B0}$  در دمای ۳۰ درجه سانتی گراد.



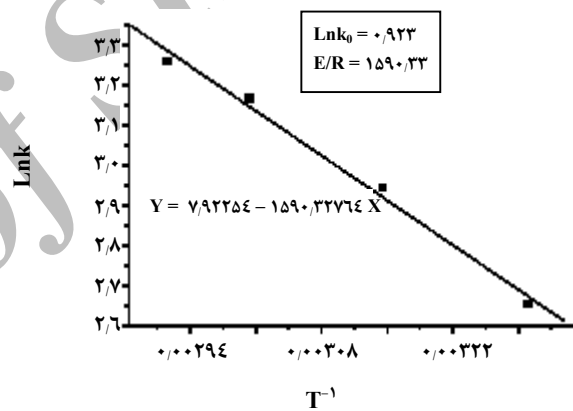
شکل ۴- تغییرهای  $\log(-dC_A/dt)$  با  $\log C_A$  در تولید MSP و دمای ۴۵ درجه سانتی گراد.



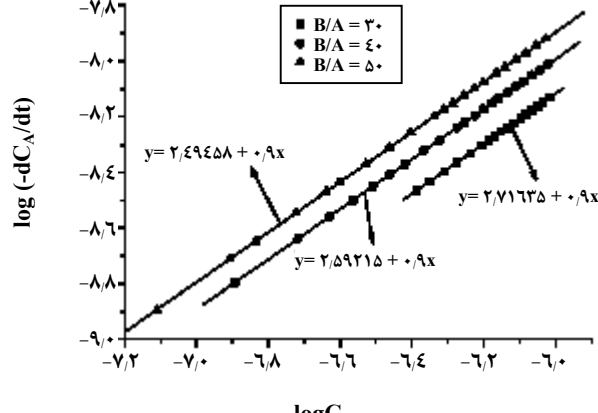
شکل ۸- تغییرهای  $\log(-dC_B/dt)$  با  $\log C_B$  در DSP برای تولید MSP در نسبت غلظت  $A/B=100, 200, 300$  و دمای ۳۰ درجه سانتی گراد.



شکل ۹- نمودار تغییرهای  $k'_A$  بر حسب  $C_{A0}$  در دمای ۳۰ درجه سانتی گراد.



شکل ۵- نمودار  $\ln k_0$  بر حسب  $T^{-1}$  برای تعیین  $E$  و  $k_0$  در MSP



شکل ۶- تغییرهای  $\log(-dC_A/dt)$  با  $\log C_A$  در تولید DSP و نسبت B/A = 3, 5, 8 در دمای ۴۵ درجه سانتی گراد.

جدول ۶ - ثابت‌های سرعت به دست آمده در دماهای متفاوت.

T <sup>0</sup> (C)	T (K)	k (mol/lit.sec) <sup>1/2</sup>	1/T (1/K)	Lnk
۳۰	۳۰۳	۶۵	۰,۰۰۳۳	۴,۱۷
۴۵	۳۱۸	۷۸	۰,۰۰۳۱۵	۴,۳۶
۶۰	۳۳۳	۹۴,۴	۰,۰۰۳۰۰	۴,۵۵
۷۰	۳۴۳	۱۰۵,۴	۰,۰۰۲۹۲	۴,۶۶

جدول ۵ - غلظت اولیه فسفریک اسید و سدیم کربنات در دمای ۳۰ درجه سانتی‌گراد.

C <sub>A0</sub> / C <sub>B0</sub> (A/B)	غلظت اولیه فسفریک اسید (C <sub>B0</sub> )	غلظت اولیه سدیم کربنات (C <sub>A0</sub> )	آزمایش
۱۰۰	(mol/lit) ۱ × ۱۰ <sup>-۵</sup>	(mol/lit) ۱ × ۱۰ <sup>-۳</sup>	۱
۲۰۰	(mol/lit) ۱ × ۱۰ <sup>-۵</sup>	(mol/lit) ۱ × ۱۰ <sup>-۳</sup>	۲
۳۰۰	(mol/lit) ۱ × ۱۰ <sup>-۵</sup>	(mol/lit) ۱ × ۱۰ <sup>-۳</sup>	۳

آمده است. همچنین با توجه به اینکه  $k = k_0 e^{-E/RT}$  است، پس  $T^{-1} \cdot \ln k = \ln k_0 - (E/R)$  است؛ لذا شب نمودار  $\ln k$  بر حسب  $T^{-1}$  نشان دهنده  $E/R$  و عرض از مبدأ آن  $\ln k$  خواهد بود. این نمودار در شکل ۱۱ رسم شده است.

با توجه به منحنی‌های ترسیم شده در قسمت‌های قبلی معادله سرعت به دست آمده برای واکنش تولید دی‌سدیم فسفات به صورت زیر به دست خواهد آمد:

$$(-r_A) = k_0 \exp\left(\frac{-E}{RT}\right) \cdot C_A^\alpha C_B^\beta$$

$$(-r_A) = 419,7 \exp\left(\frac{-126}{RT}\right) \cdot C_A^\alpha C_B^\beta$$

نتیجه بسیار مهمی که از شکل‌های ۴ و ۱۰ می‌توان گرفت این است به خاطر بالا بودن اثر افزایش دما روی سرعت تغییرهای غلظت با زمان در گستره دمایی ۴۵ تا ۶۰ درجه سانتی‌گراد و ناچیز بودن سرعت تغییرهای غلظت در گستره دمایی بالاتر از ۶۰ درجه سانتی‌گراد بهترین دما برای تولید منوسدیم فسفات و دی‌سدیم فسفات به نسبت انرژی مصرفی و سرعت انجام واکنش ۶۰ درجه سانتی‌گراد است در حالی که این واکنش‌ها در صنعت در دمای ۸۰ درجه سانتی‌گراد صورت می‌گیرند.

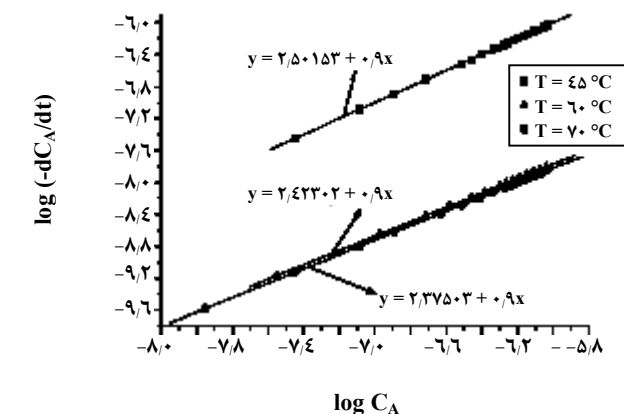
به منظور تأیید درستی نتیجه‌ها و معادله‌های سیتیکی به دست آمده، دو آزمایش به طور کامل مجزا و مطابق با نسبت‌های استوکیومتری فسفریک اسید و سدیم کربنات در تولید منوسدیم فسفات و دی‌سدیم فسفات انجام شد. روند تغییرهای غلظت سدیم کربنات در این دو آزمایش با روند تغییرهای غلظت محاسبه شده از رابطه‌های سیتیکی در شکل ۱۲ به تصویر کشیده شده است.

برای به دست آوردن یک  $k_A$  واحد برای دی‌سدیم فسفات در دمای محیط با توجه به رابطه  $k'_A = K_A C_B$  نمودار شکل ۷ رسم شده است. با توجه به معادله خط به دست آمده از نمودار شکل ۷ نتیجه می‌شود که ثابت سرعت نسبت به سدیم کربنات در دمای ۳۰ درجه سانتی‌گراد برابر با  $419,7 \text{ mol/lit.sec}^{1/2}$  است. چون در واکنش تولید دی‌سدیم فسفات نسبت مولی فسفریک اسید به سدیم کربنات ۱ است، این گونه استنباط می‌شود که  $k_B = k_A = 64 \text{ mol/lit.sec}^{1/2}$  خواهد بود.

در جدول ۵ غلظت‌های اولیه فسفریک اسید و سدیم کربنات برای تعیین درجه واکنش نسبت به فسفریک اسید در چند آزمایش تولید دی‌سدیم فسفات، در دمای ۳۰ درجه سانتی‌گراد گنجانده شده است. نمودارهای شکل ۸ حاصل رسم  $\log \frac{C_B}{C_{B0}} = -\frac{dC_B}{dt}$  بر حسب آمده  $m = 0,61$  خواهد بود. برای به دست آوردن یک  $k_B$  واحد برای دی‌سدیم فسفات در دمای محیط با توجه به رابطه  $k'_B = k_B C_A$  نمودار شکل ۹ رسم شده است. از معادله خط شکل ۹ نتیجه می‌شود که ثابت سرعت نسبت به فسفریک اسید در دمای ۳۰ درجه سانتی‌گراد  $63/65 \text{ mol/lit.sec}^{1/2}$  است و با مقدار پیش‌بینی شده برای آن به تقریب برابر است.

بعد از به دست آوردن درجه واکنش نسبت به A و B و همچنین حاصل شدن ثابت سرعت در دمای محیط ۳۰ درجه سانتی‌گراد، برای تعیین انرژی فعال‌سازی و ثابت فرکانس با توجه به رابطه آرنیوس، در سه دمای ۴۵، ۶۰ و ۷۰ درجه سانتی‌گراد آزمایش‌هایی انجام شد که نتیجه‌های آنها در نمودارهای شکل ۱۰ رسم شده است. ثابت‌های سرعت در این سه دما را می‌توان از روی عرض از مبدأ هر یک از خطوط به دست آورد. این مقادارها در جدول ۶

با توجه به شکل ۱۲ مشاهده می‌شود که نتیجه‌های به دست آمده از آزمایش با نتیجه‌های پیش‌بینی شده از معادله‌ی سینتیک تطابق بسیار خوبی دارد و این تطابق در غلظت‌های بالا بسیار مشهودتر است. میزان خطای متوسط رابطه‌ی سینتیک منو سدیم فسفات ۳ درصد و خطای متوسط رابطه‌ی سینتیک دی سدیم فسفات ۵ درصد است.

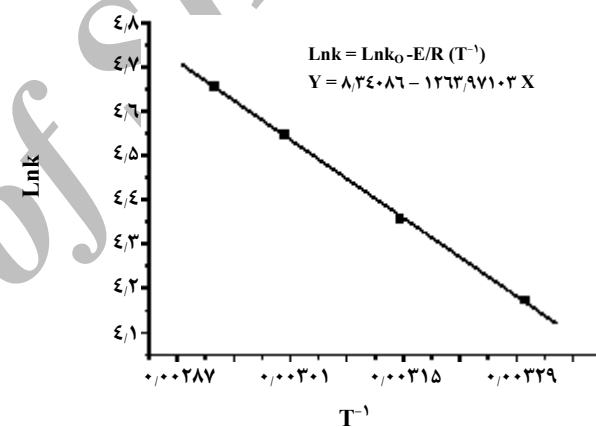


شکل ۱۰- تغییرهای  $-\frac{dC_A}{dt}$  با  $\log C_A$  برای تولید DSP در ماهات ۴۵، ۷۰، ۷۴ درجه سانتی‌گراد.

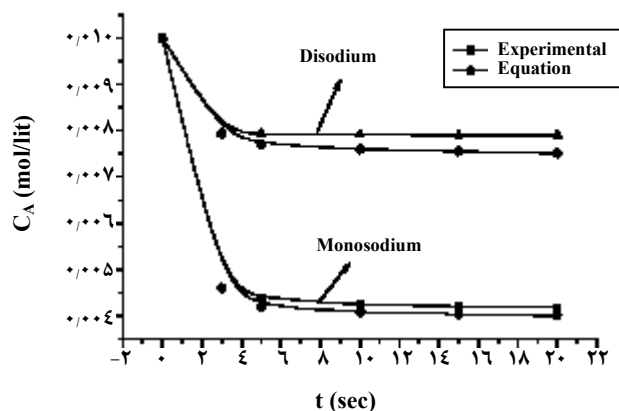
**نتیجه‌گیری نهایی**  
استفاده از سدیم‌تری‌پلی‌فسفات در شوینده‌ها موجب افزایش قابلیت پاک‌کنندگی آنها می‌شود. نقش اصلی این ماده نرم کردن آب از طریق ایجاد کمپلکس یا جدا کردن یون‌های کلسیم و منیزیم در آب سخت است.

روش متعارف تولید سدیم تری پلی‌فسفات، واکنش منوسدیم‌فسفات ( $\text{NaH}_2\text{PO}_4$ ) و دی‌سدیم‌فسفات ( $\text{Na}_2\text{HPO}_4$ ) به نسبت مولی ۱:۲ و در دمای بالای ۴۰۰ درجه سانتی‌گراد است. آنچه در این مقاله بدان پرداخته شده، تعیین سینتیک واکنش‌های شیمیایی تولید منوسدیم‌فسفات و دی‌سدیم‌فسفات است.

با توجه به رابطه‌ی استوکیومتری ارایه شده برای تولید منو و دی‌سدیم‌فسفات، رابطه عمومی سینتیک برای آنها به صورت  $(-r_A) = k_A C_A^n C_B^m$  خواهد بود که برای تعیین ثابت‌های آنها از روش اندازه‌گیری pH استفاده شد. بدین ترتیب که با مشخص شدن pH در هر لحظه میزان یون  $[\text{H}^+]$  محیط محاسبه شد. با مشخص شدن  $[\text{H}^+]$  درجه یونش یون‌های متقاول فسفریک اسید در محلول آبی محاسبه و سپس غلظت محاسبه شد. روشی که برای تعیین سینتیک به کار رفت به روش کاهش مرتبه‌ی واکنش مشهور است. در پایان معادله‌ی نهایی سینتیک برای منو سدیم فسفات به صورت  $(-r_A) = 2760 e^{-1590/T} C_A^{0.87} C_B^{0.63}$  و معادله‌ی سینتیک برای دی‌سدیم فسفات نیز به صورت  $(-r_A) = 4191 e^{-1420/T} C_A^{0.9} C_B^{0.61}$  به دست آمد. با بررسی معادله‌های بالا مشخص شد که میزان خطای معادله‌ی سینتیک منوسدیم‌فسفات ۳ درصد و دی‌سدیم‌فسفات ۵ درصد است. نتیجه مهم دیگری که حاصل شد این است که در صنعت واکنش تولید منو و دی‌سدیم‌فسفات در ۸۰ درجه سانتی‌گراد صورت می‌گیرد، در حالی که بر اساس آزمایش‌های صورت گرفته در این تحقیق دمای بهینه تولید ۶۰ درجه سانتی‌گراد است.



شکل ۱۱- نمودار  $\ln k$  بر حسب  $T^{-1}$  برای تعیین  $E$  و  $k_0$  در DSP.



شکل ۱۲- مقایسه تغییرهای  $C_A$  حاصل از آزمایش با  $C_A$  به دست آمده از معادله‌ی سینتیک.

DSP	دی‌سدیم‌فسفات	علایم
STPP	سدیم‌تری‌پلی‌فسفات	سدیم کربنات
B/A	نسبت غلظت فسفریک اسید به سدیم کربنات	فسفریک اسید
A/B	نسبت غلظت سدیم کربنات به فسفریک اسید	ثابت سرعت نسبت به A
R	ثابت جهانی گازها	ثابت سرعت نسبت به B
		ثابت‌های تفکیک اسید فسفریک
		درجه یونش اسید در هر مرحله
	تاریخ دریافت: ۱۶/۹/۸۳ ، تاریخ پذیرش: ۱۶/۴/۸۴	منوسدیم‌فسفات
	MSP	

## مراجع

- [1] Perry's "Chemical Engineering HandBook", 6 ED, Mc Grow Hill, (1984).
- [2] Robert, W., Welrin, J., William, H., "HandBook of Chemistry & Physics (CRC)", 1987.
- [3] Kirk-Othmer, "Encyclopedia of Chemical Technology", John wiley & Sons, 1982.
- [۴] پهلوانزاده، حسن؛ واعظی، سعید؛ "مدل‌سازی و شبیه‌سازی فرایند تولید STPP" ، پایان‌نامه کارشناسی ارشد، دانشگاه تربیت مدرس، (۱۳۷۸).
- [5] Khanna, Nirmal, K. (FMC Corporation), "Manufacture of Sodium Tripolyphosphate from Wet Acid", US 861163, May 9 (1986).
- [6] Hensler, P.L., (FMC Corporation), "Preparation of Granular Sodium TripolyPhosphates Products", US 4255274, March 19 (1981).
- [7] Landgraber, et al. (Hoechst A.), "Sodium TripolyPhosphate, Process for Making it, and its Use", US 399756, July 19 (1982).
- [8] SRI's Concept for manufacturing process, SRI, (1987).
- [9] Gallistru, O., "Preparation of Sodium TripolyPhosphate", US 4,146,575 ,March 27 (1979).
- [۱۰] پارسافر، غلامعباس؛ نجفی، بیژن؛ "شیمی فیزیک سینتیک شیمیایی و ترمودینامیک آماری" ، نشر ارکان، چاپ اول، (۱۳۷۱).
- [11] Douglas A.Skoog, Donald M.West, "Fundamental of Analytical Chemistry", Third Edition, Holt, Rinehart and Winston (1976).
- [۱۲] سحابی، محمود؛ پهلوانزاده، حسن؛ قائمی، مهدی؛ " تعیین سینتیک واکنش‌های شیمیایی تولید STPP" ، پایان‌نامه کارشناسی ارشد، دانشگاه تربیت مدرس (۱۳۸۲).